

FIGURAS

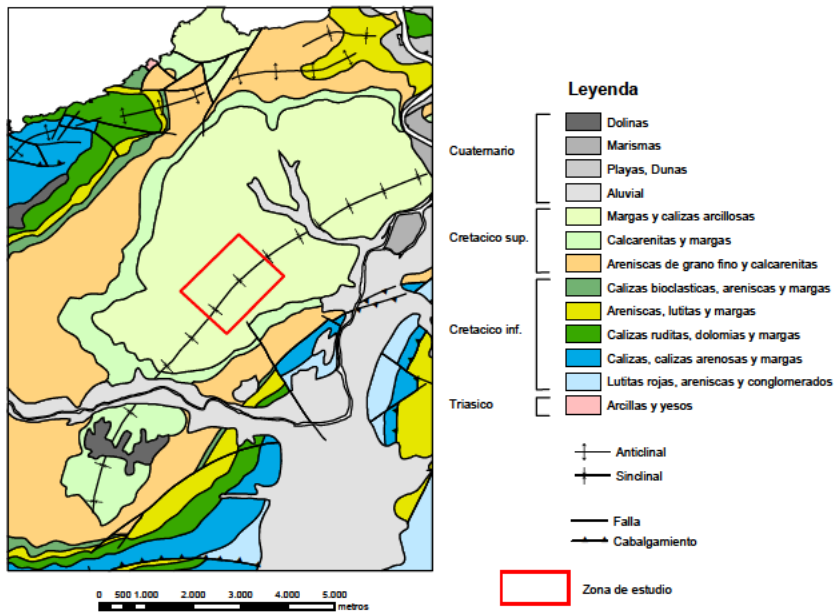


Figura 2.1a.- Esquema geológico de la zona donde se muestra la zona de estudio

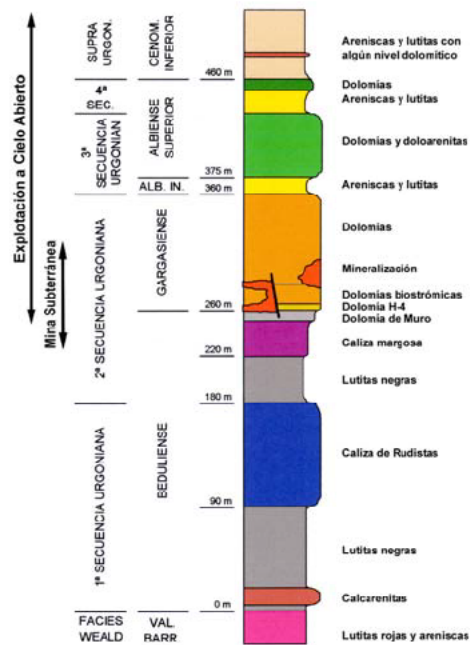


Figura 2.1b.- Columna estratigráfica del área del sinclinal de Santillana

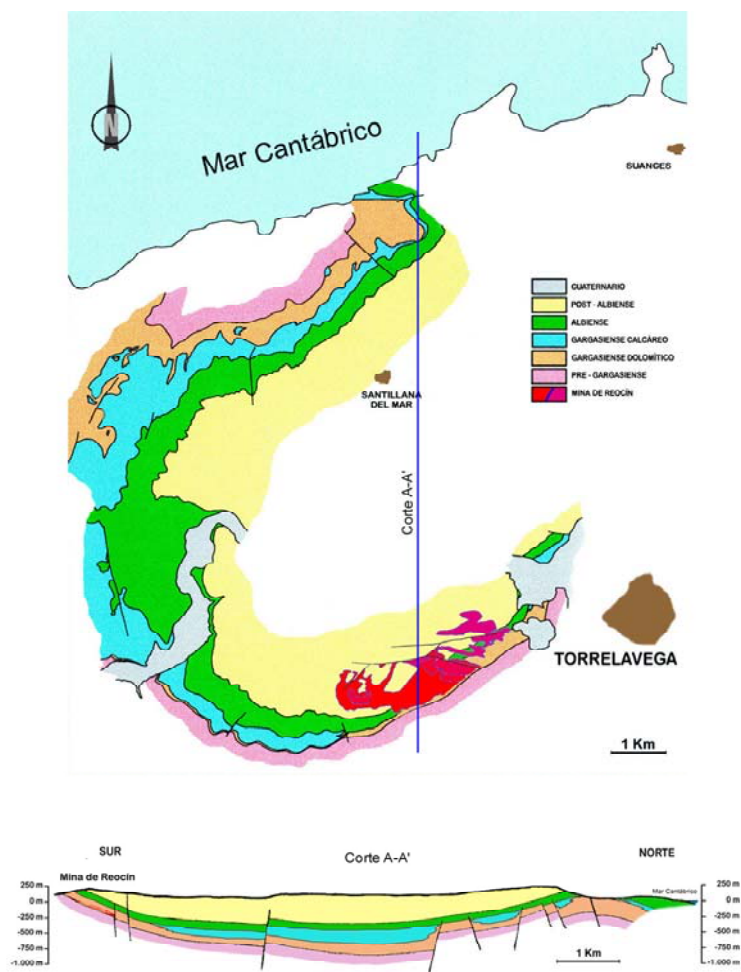


Figura 2.2.- Corte geológico N-S sobre el sinclinal de Santillana



● Situación de muestras en los perfiles

Figura 2.3.- Muestreo geoquímico sobre la foto aérea de la zona.

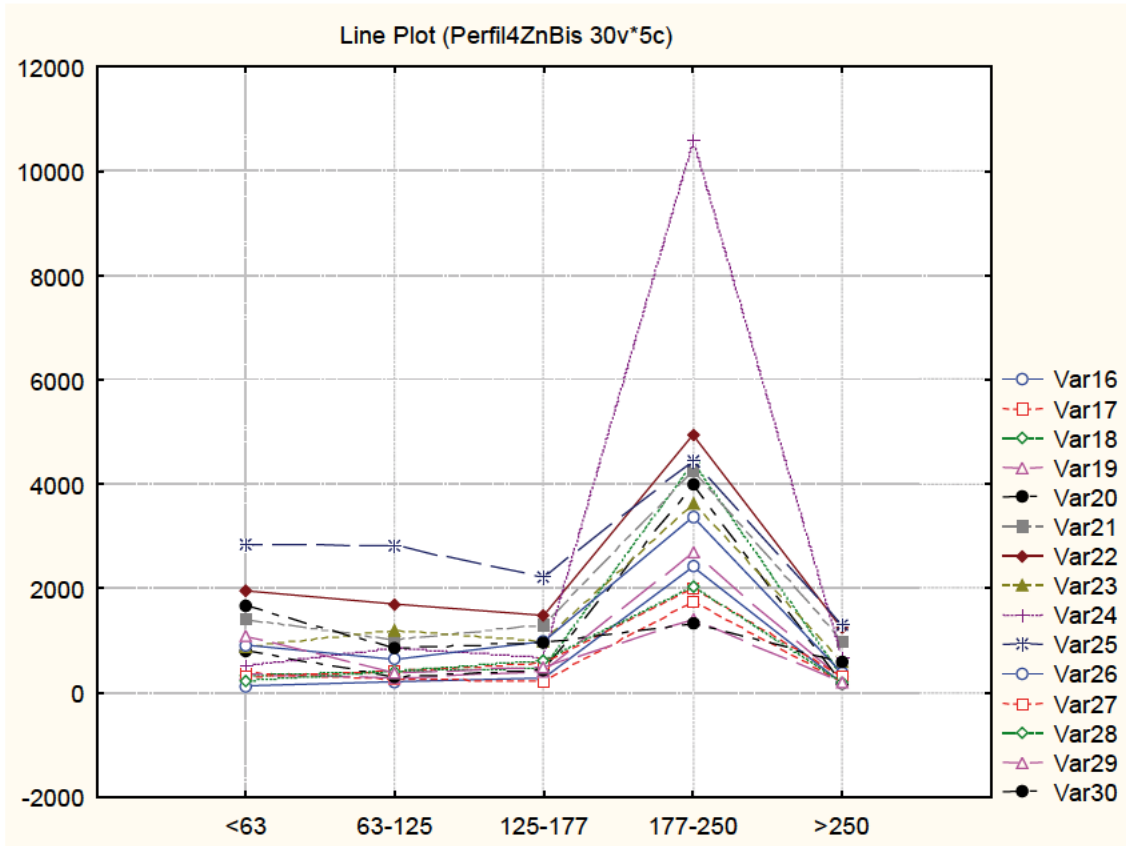
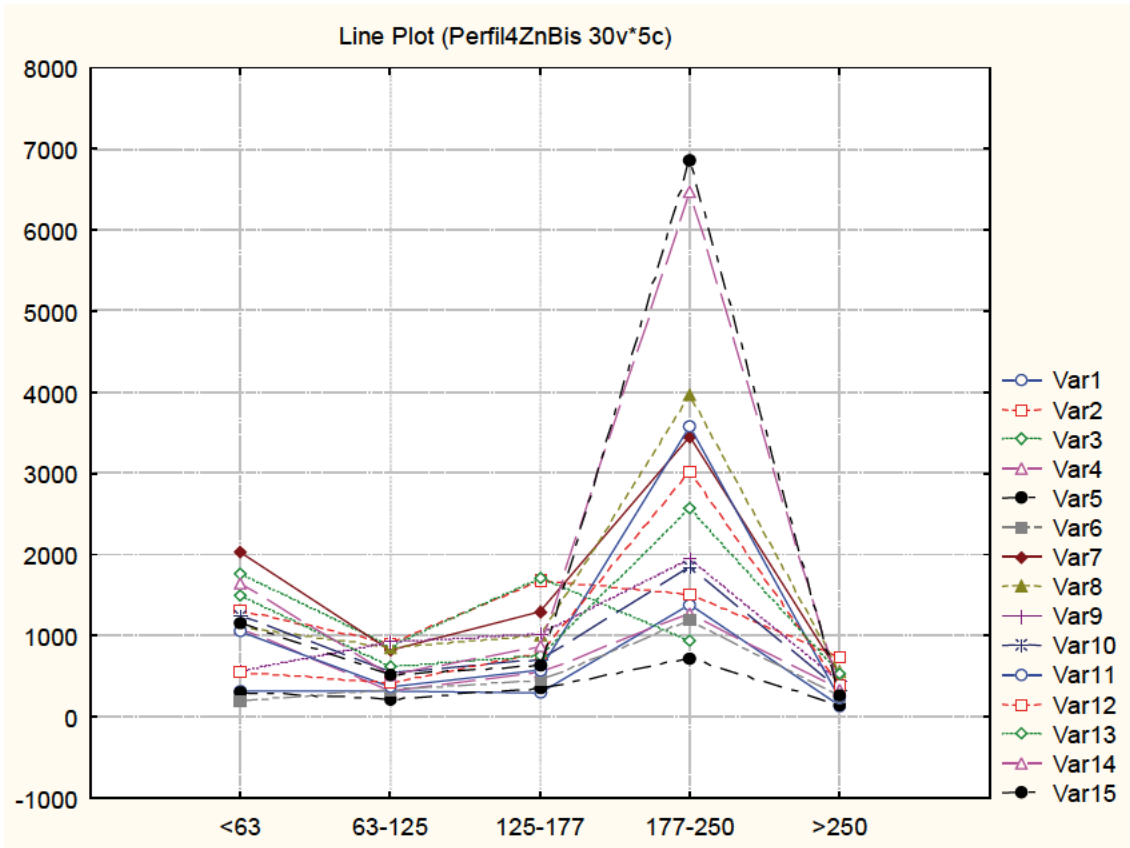


Figura 2.4.- Contenidos en Zn sobre diferentes granulometrías analizado por lixiviación enzimática.

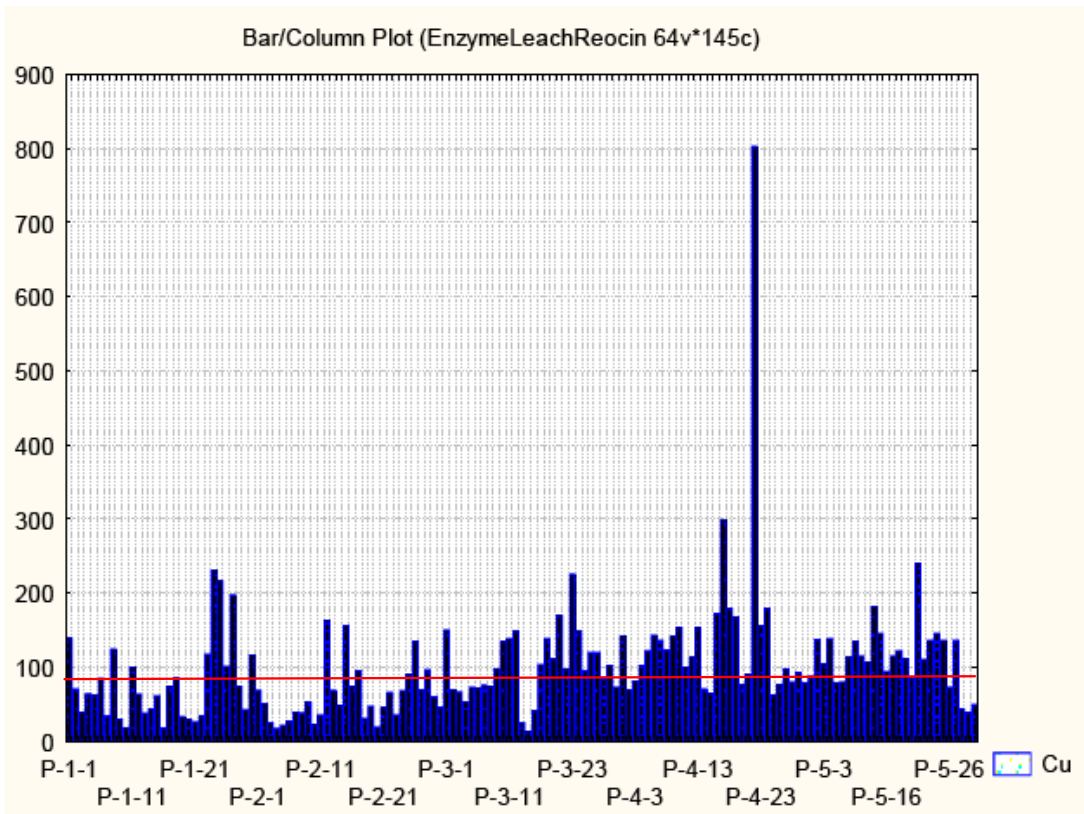


Figura 2.5a.- Distribución de valores del Cu con valor de fondo

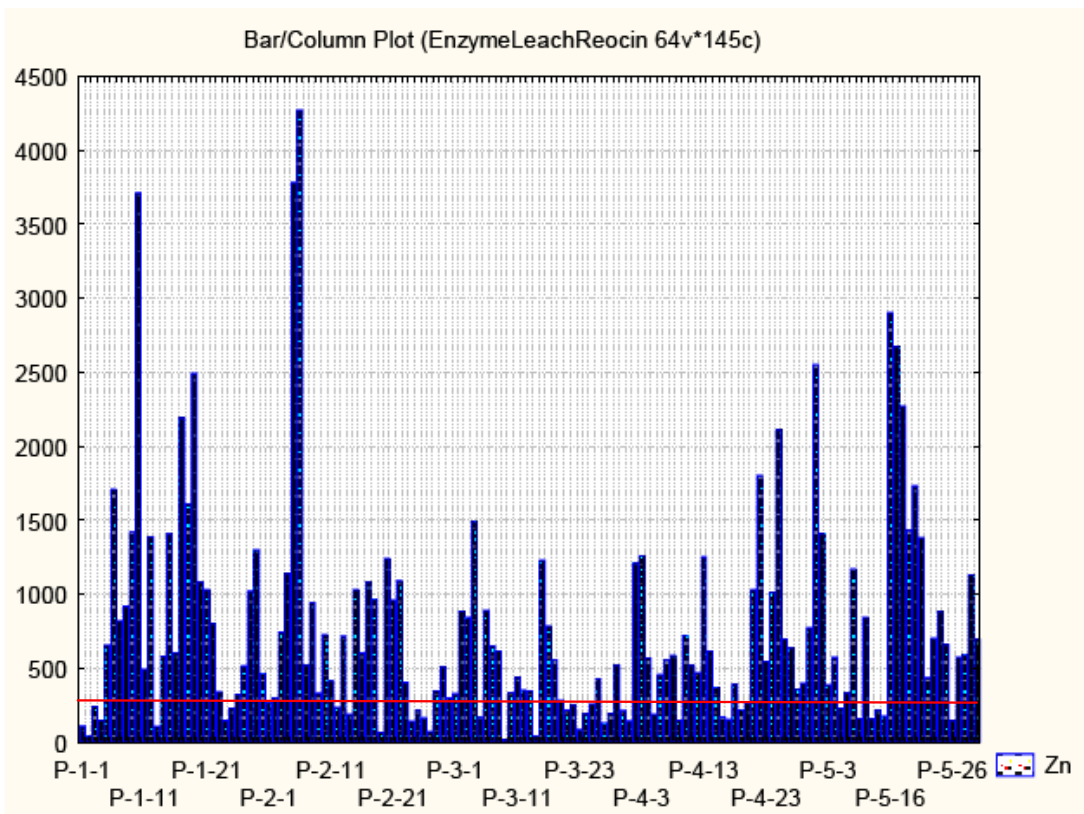


Figura 2.5b.- Distribución de valores de Zn con valor de fondo

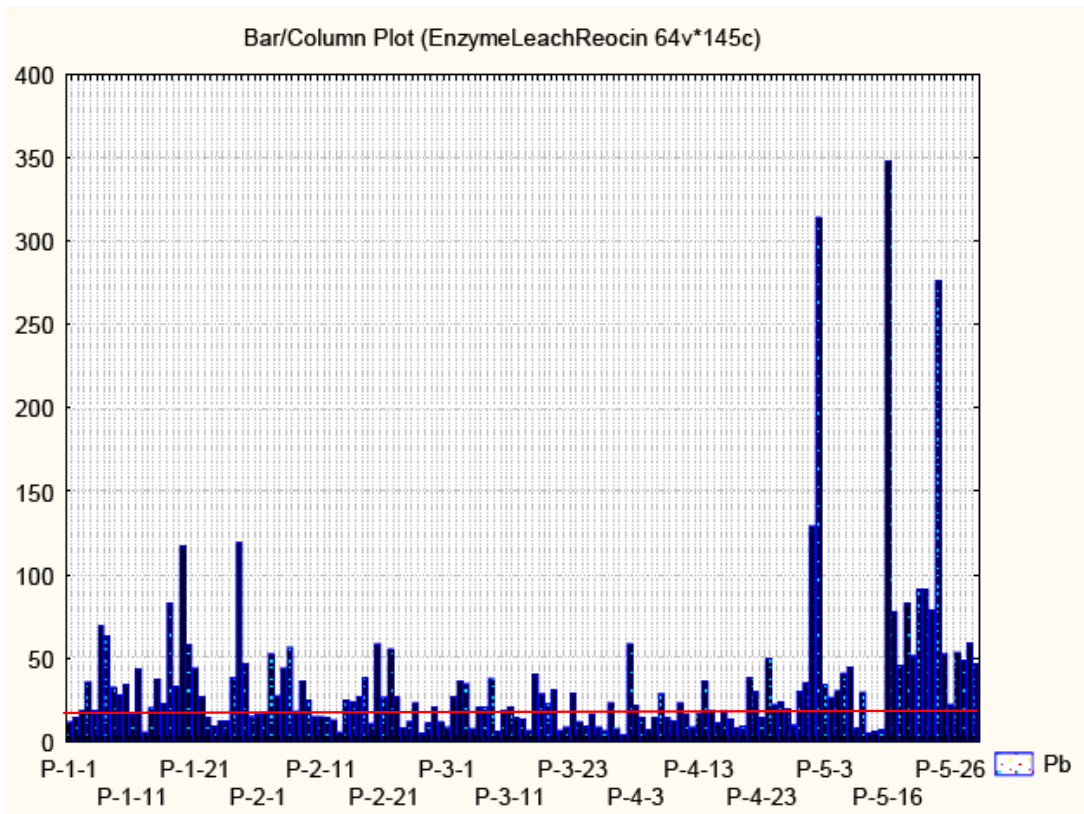


Figura 2.5c.- Distribución de valores de Pb con valor de fondo

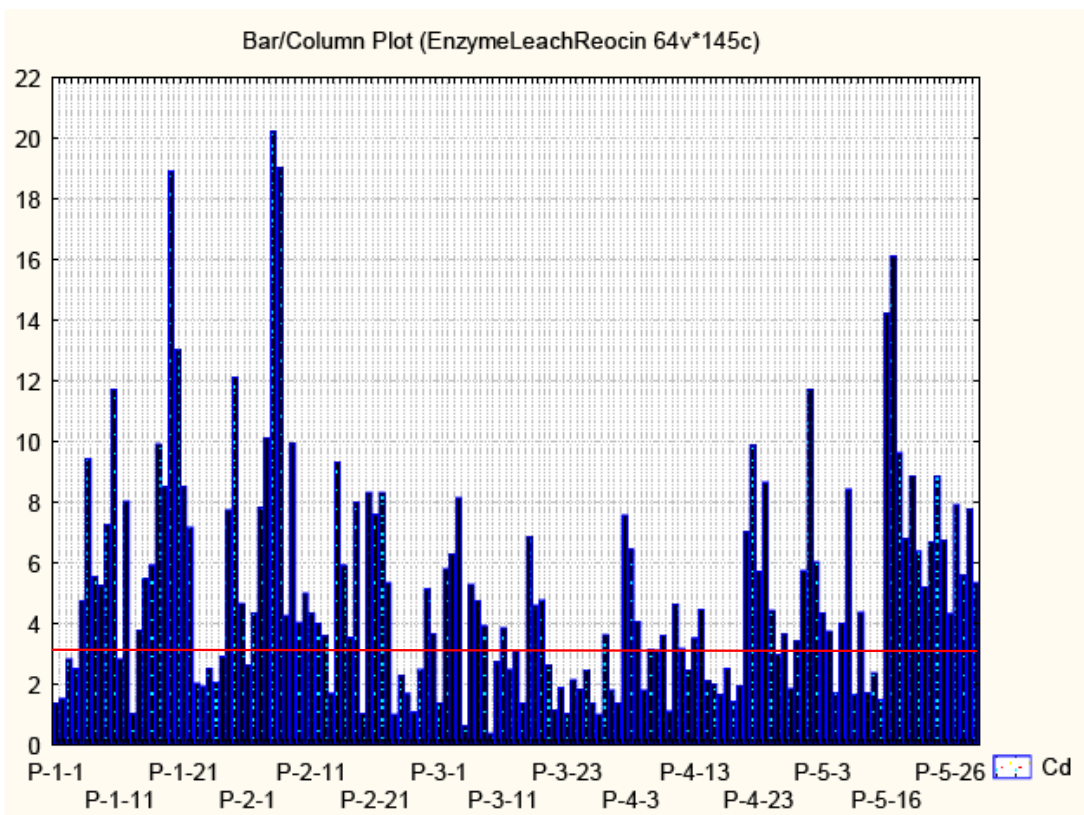


Figura 2.5d.- Distribución de valores de Cd con valor de fondo

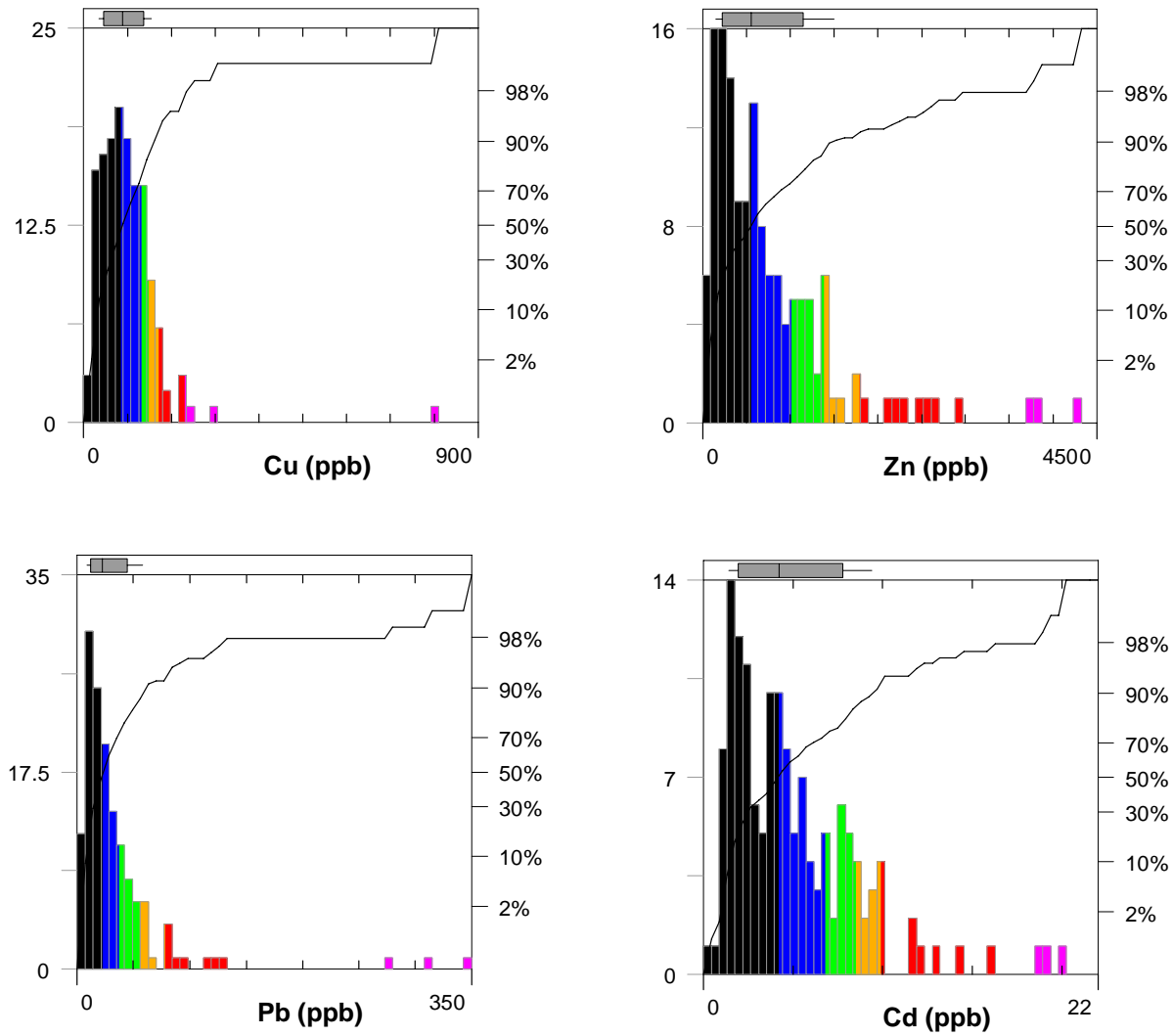


Figura 2.6a.- Histogramas de Metales Base Cd, Cu, Ga, Ge, Pb, Zn.

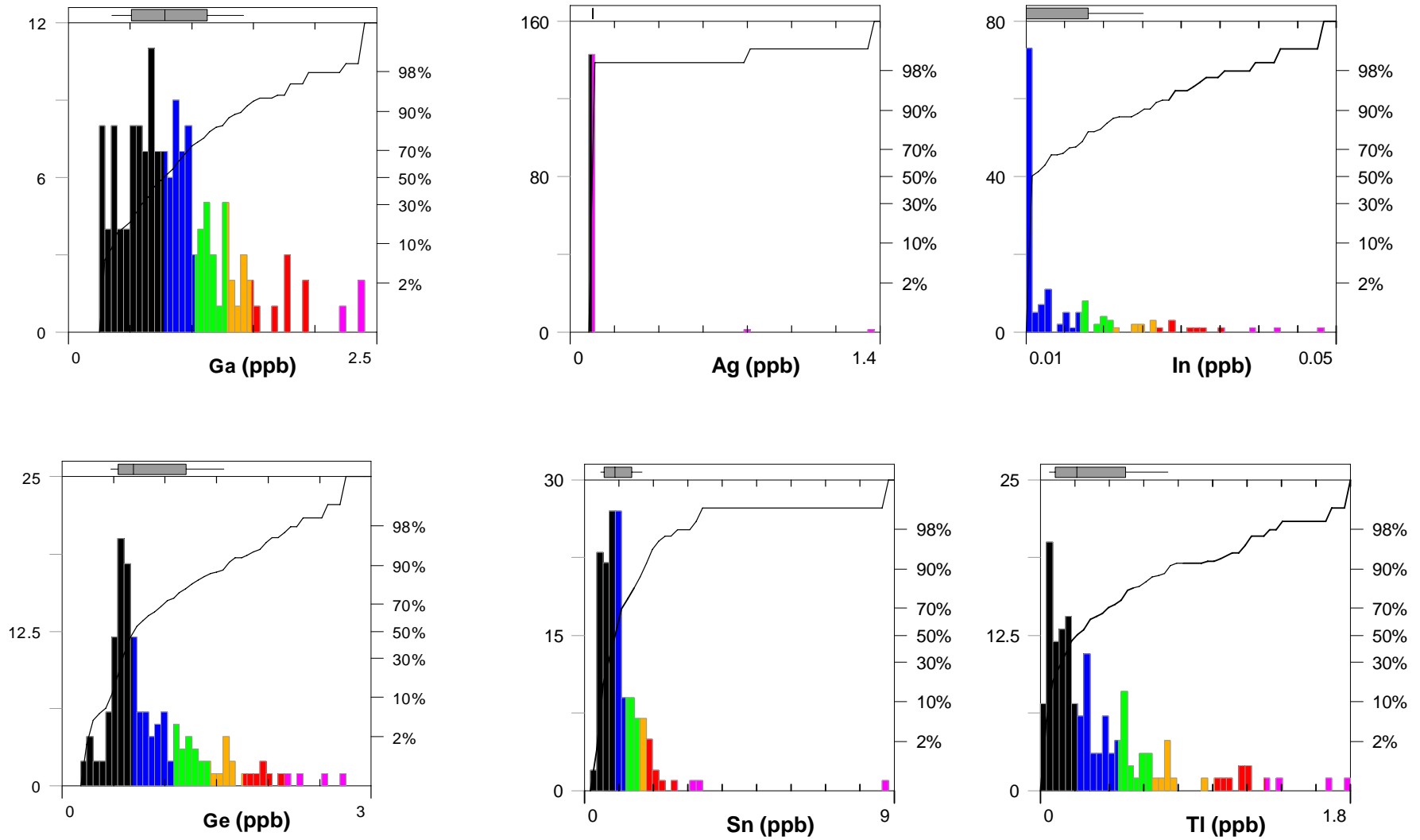


Figura 2.6b.- Histogramas de Metales Base Ag, In, Sn, Tl.

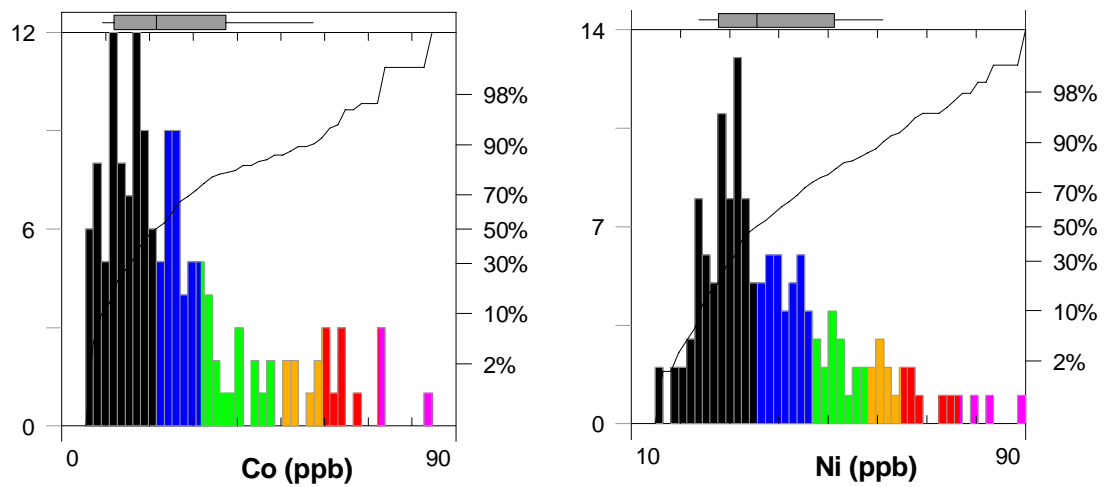


Figura 2.6c.- Histogramas de Metales Base Co, Ni.

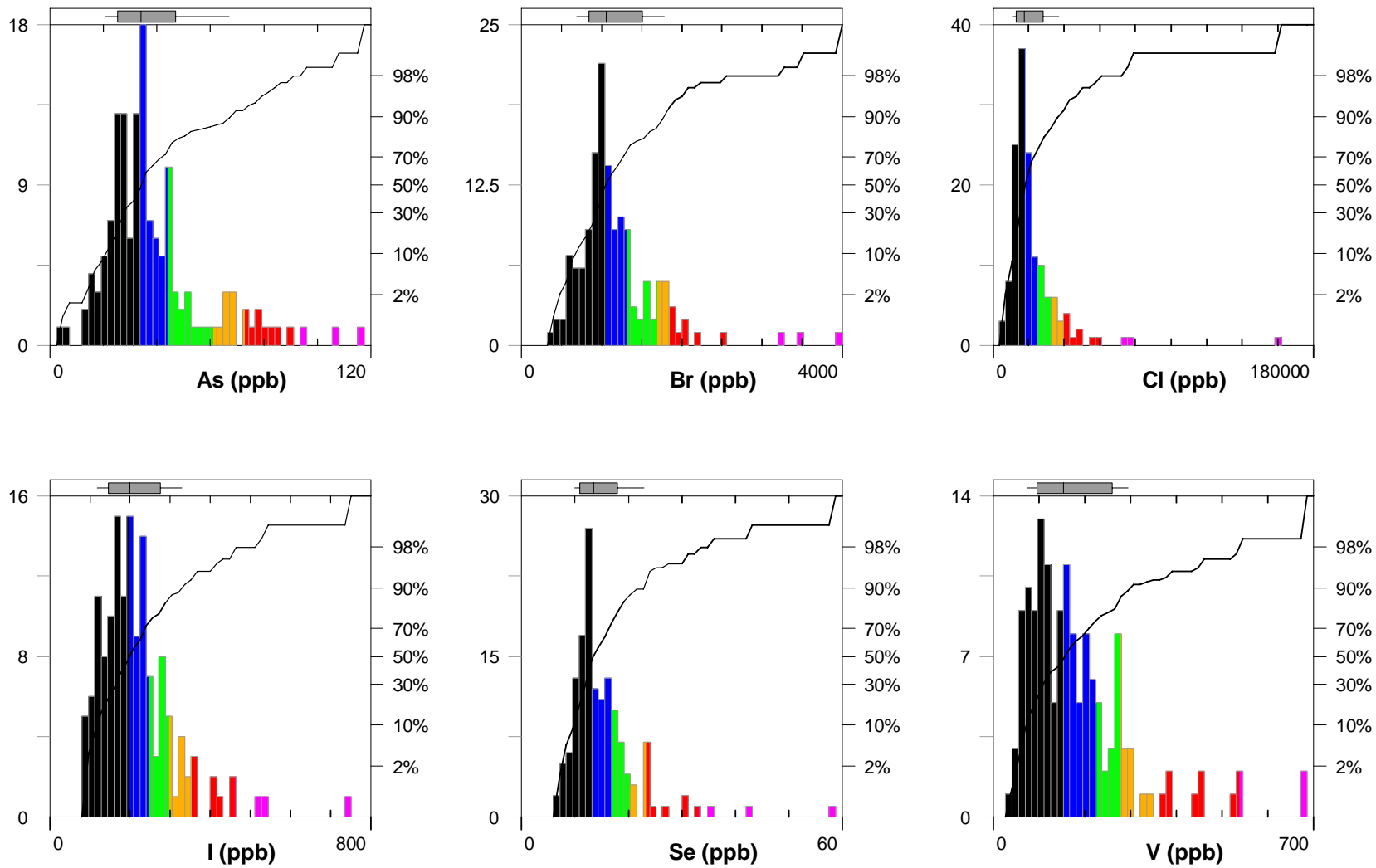


Figura 2.6d.- Histogramas de Oxidación As, Br, Cl, I, Se, V.

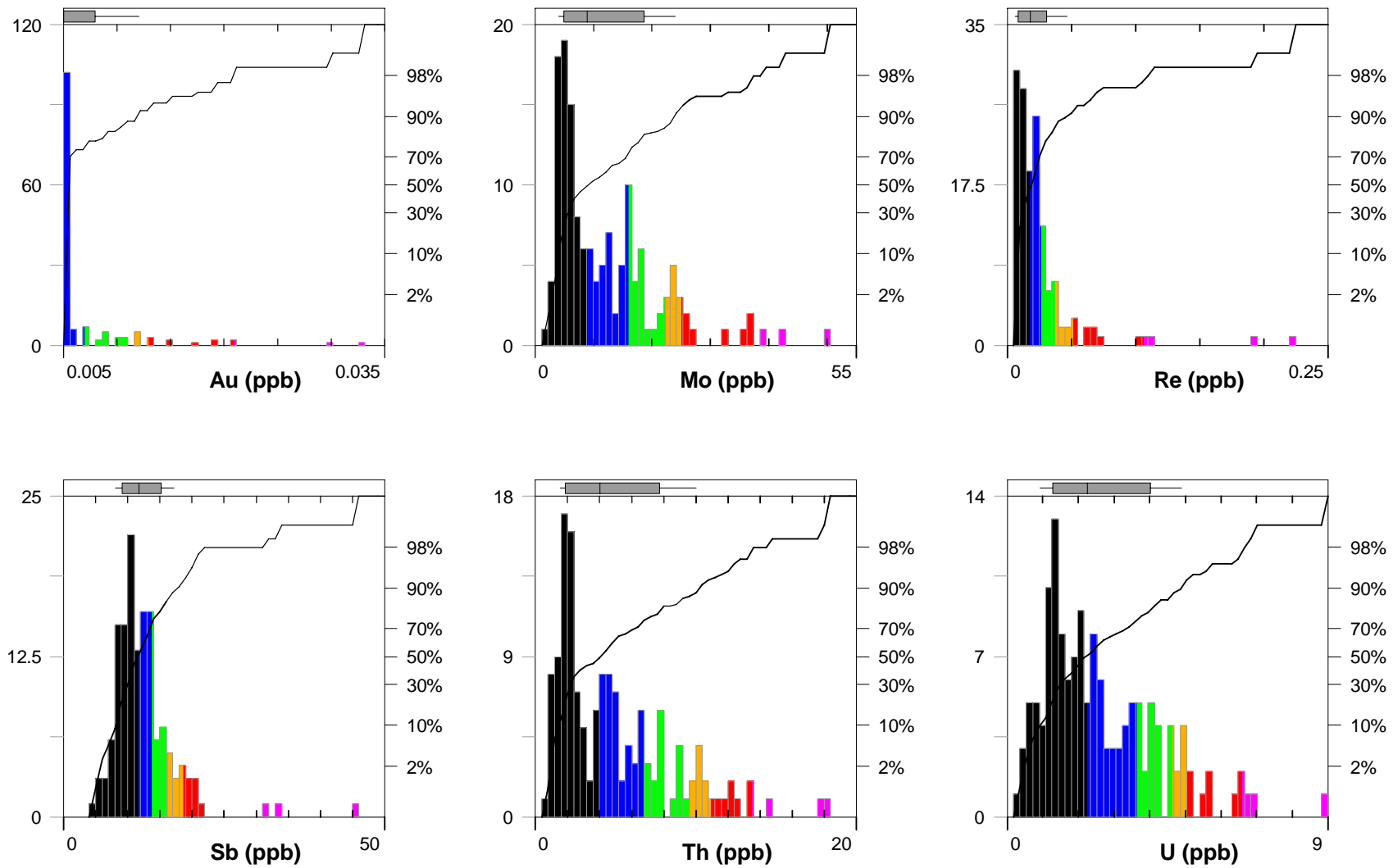


Figura 2.6e.- Histogramas de Oxidación Au, Mo, Re, Sb, Th, U.

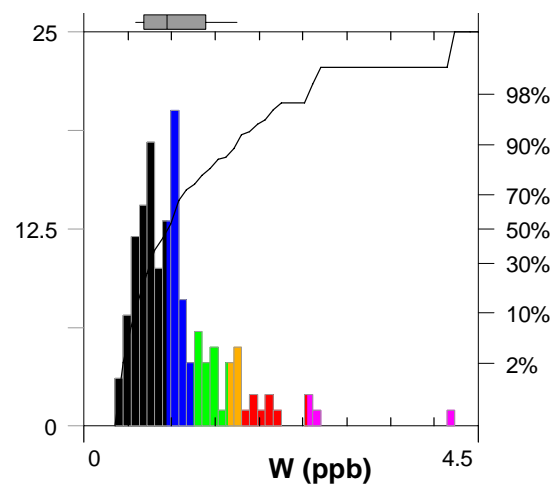


Figura 2.6f.- Histogramas de Oxidación W.

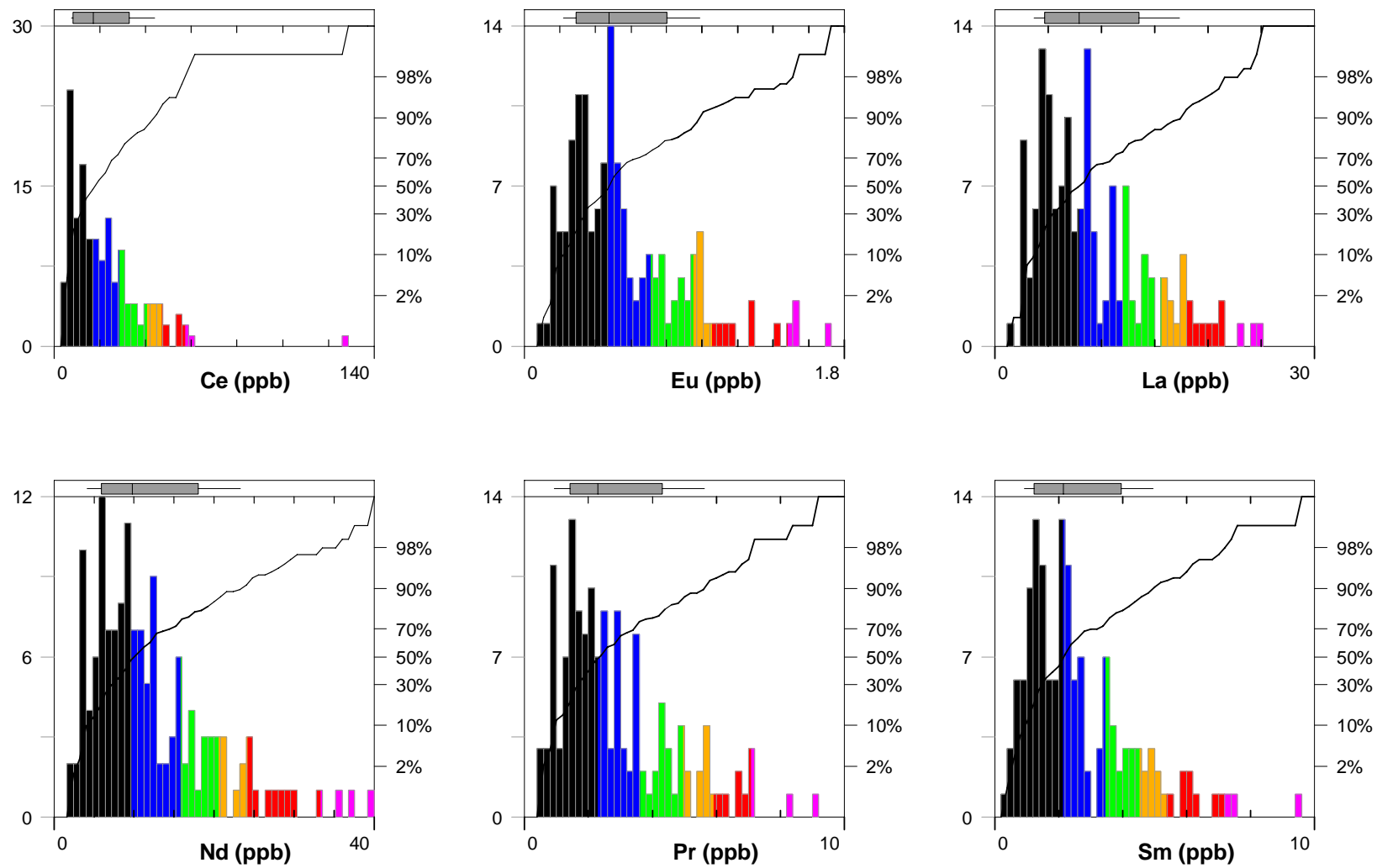


Figura 2.6g.- Histogramas de Tierras Raras Ce, Eu, La, Nd, Pr, Sm.

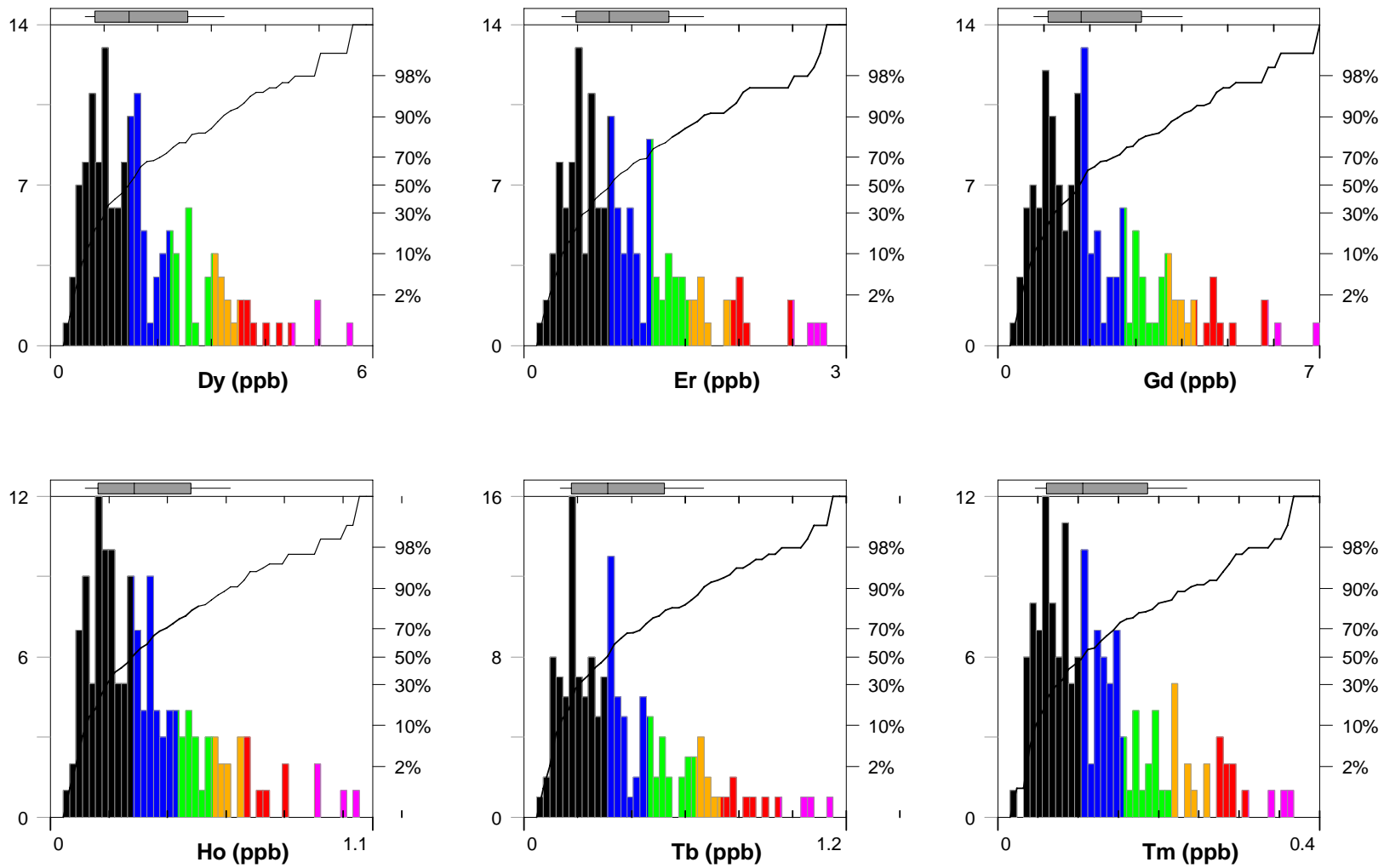


Figura 2.6h.- Histogramas de Tierras Raras Dy, Er, Gd, Ho, Tb, Tm.

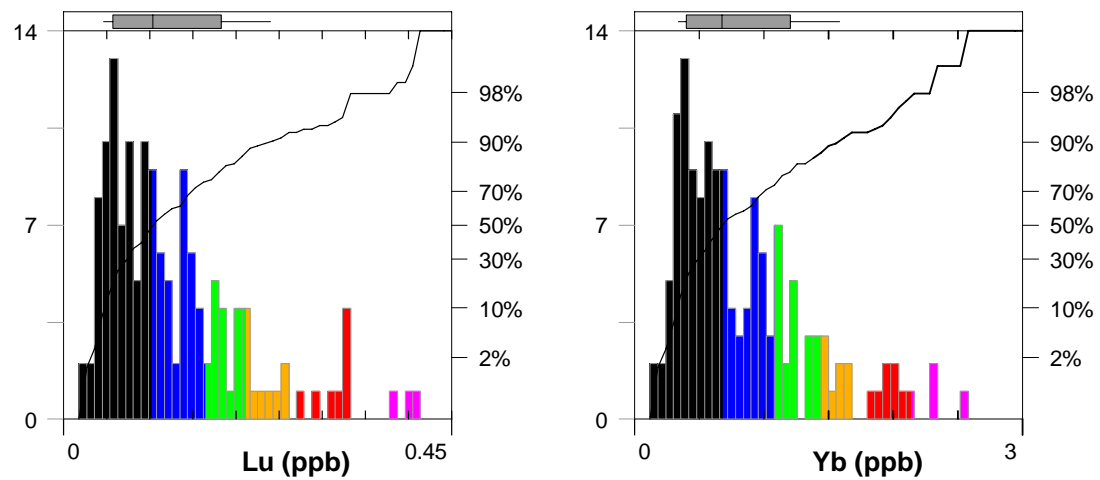


Figura 2.6i.- Histogramas de Tierras Raras Lu, Yb.

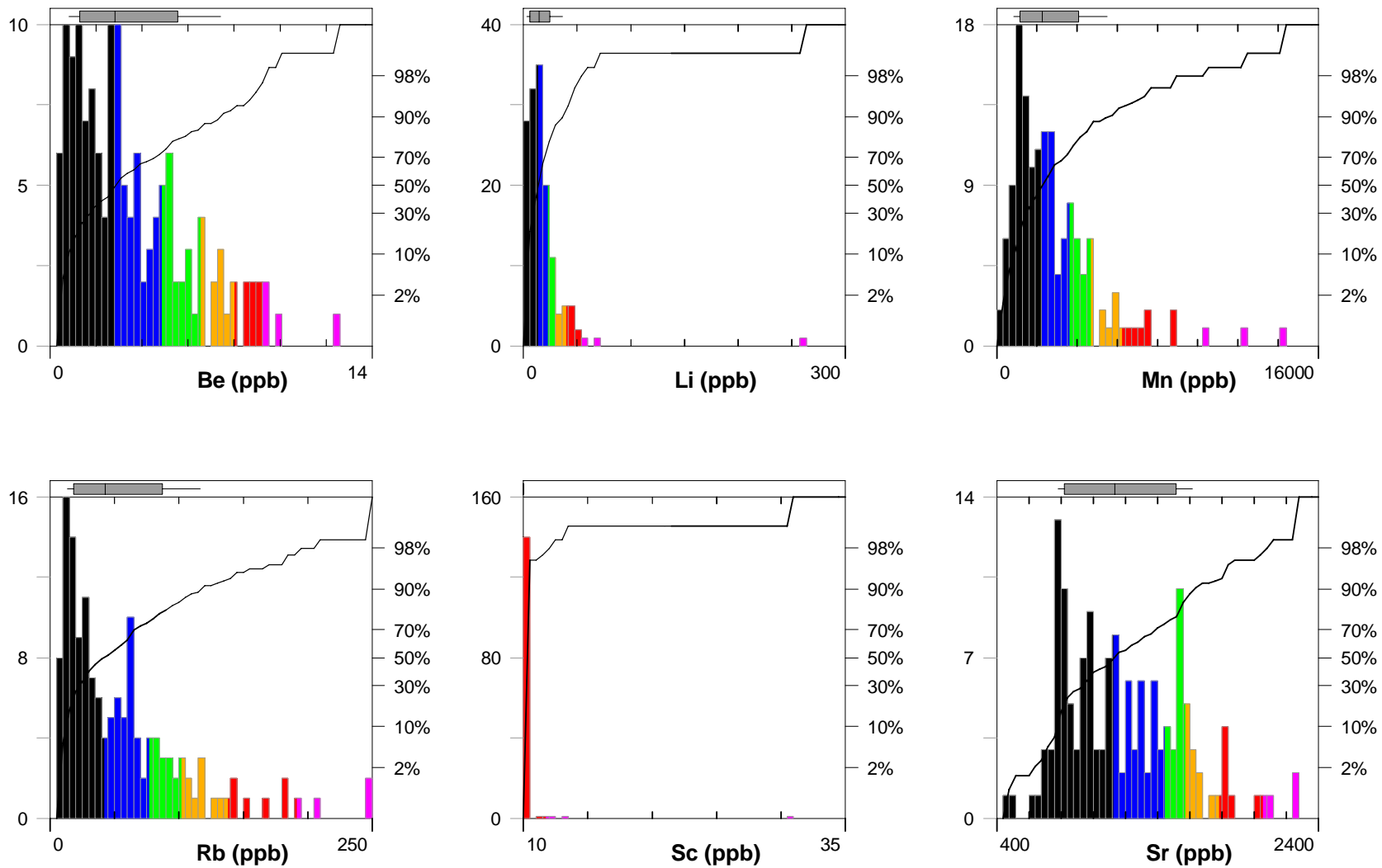


Figura 2.6j.- Histogramas de Litófilos Be, Li, Mn, Rb, Sc, Sr.

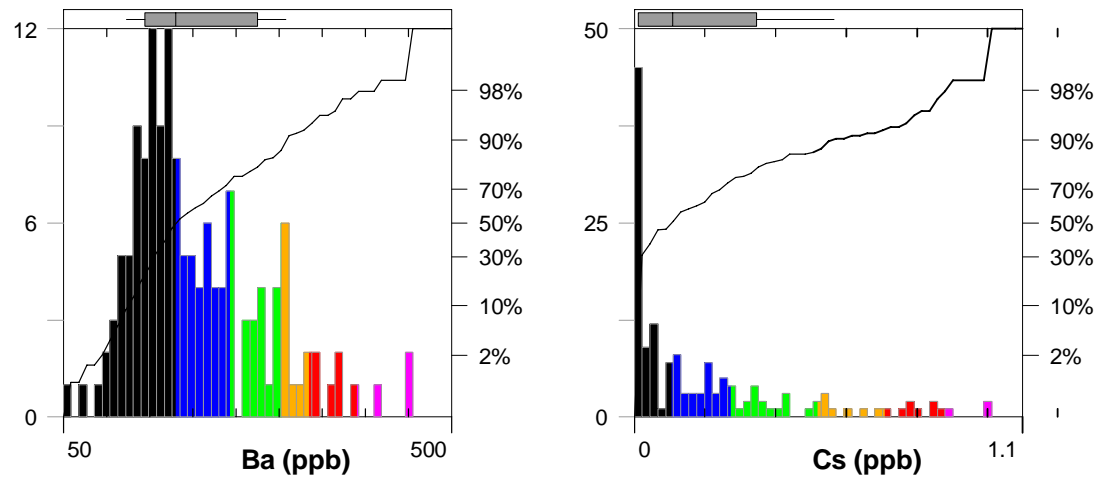


Figura 2.6k.- Histogramas de Litófilos Ba, Cs.

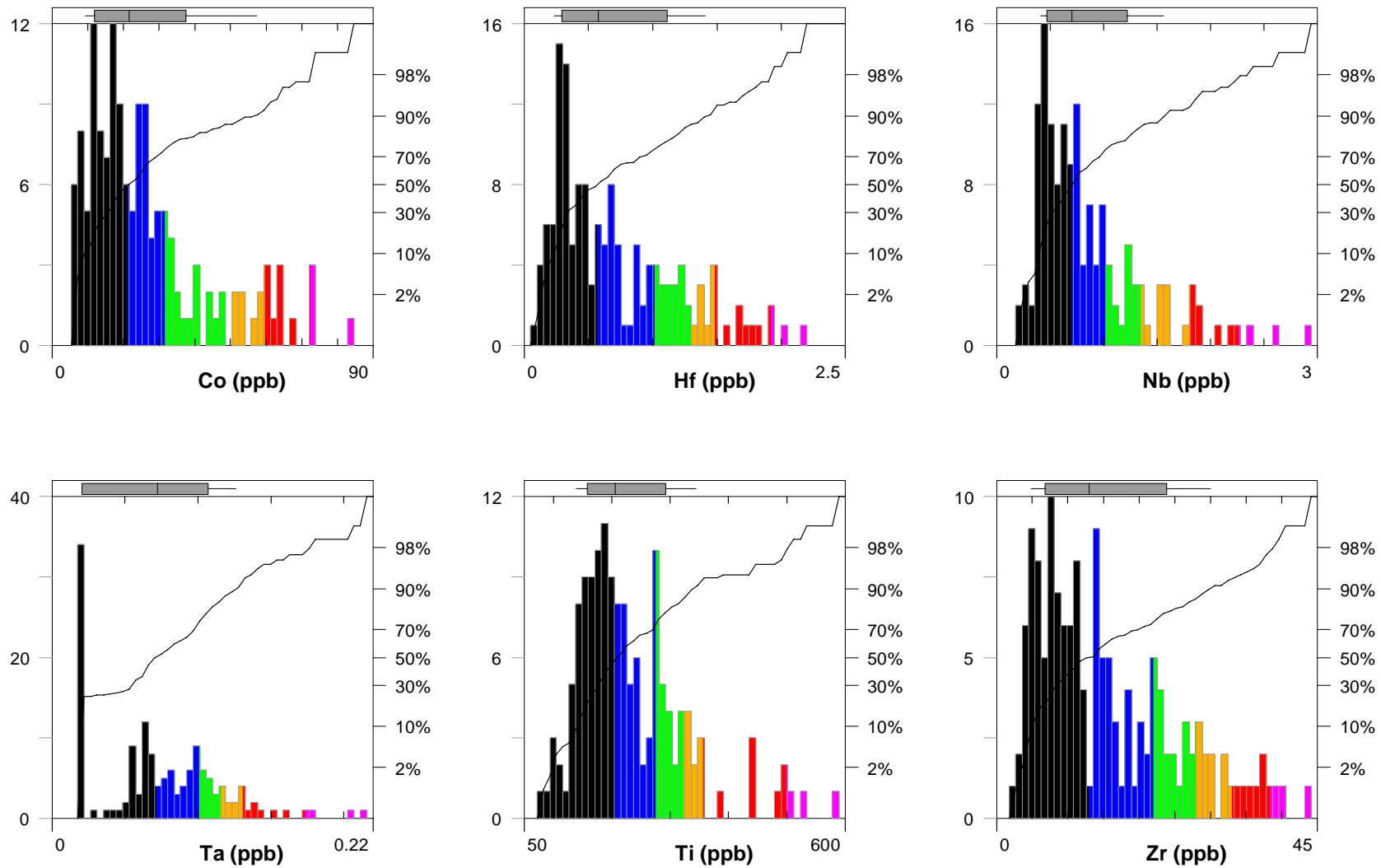


Figura 2.6l.- Histogramas de Incompatibles Co, Hf, Nb, Ta, Ti, Zr.

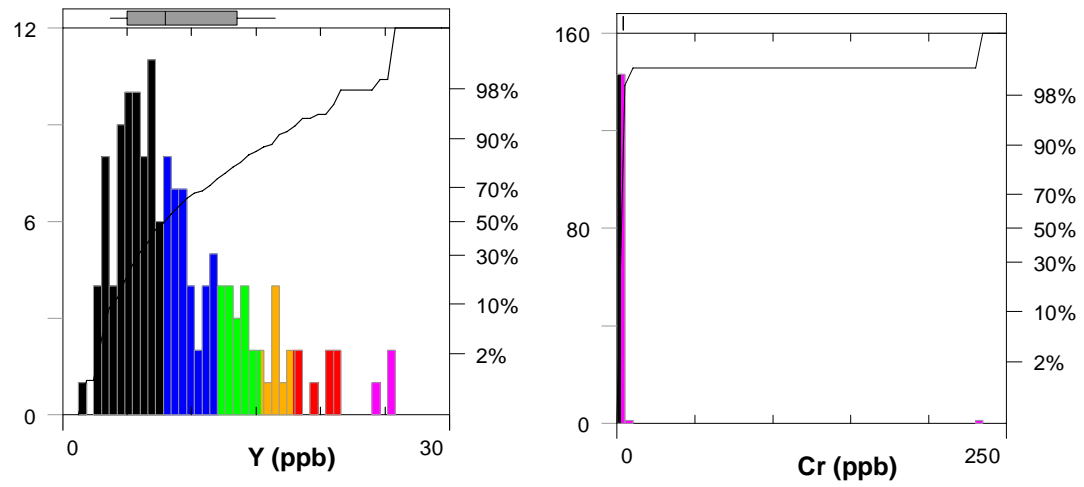


Figura 2.6m.- Histogramas de Incompatibles Y, Cr.

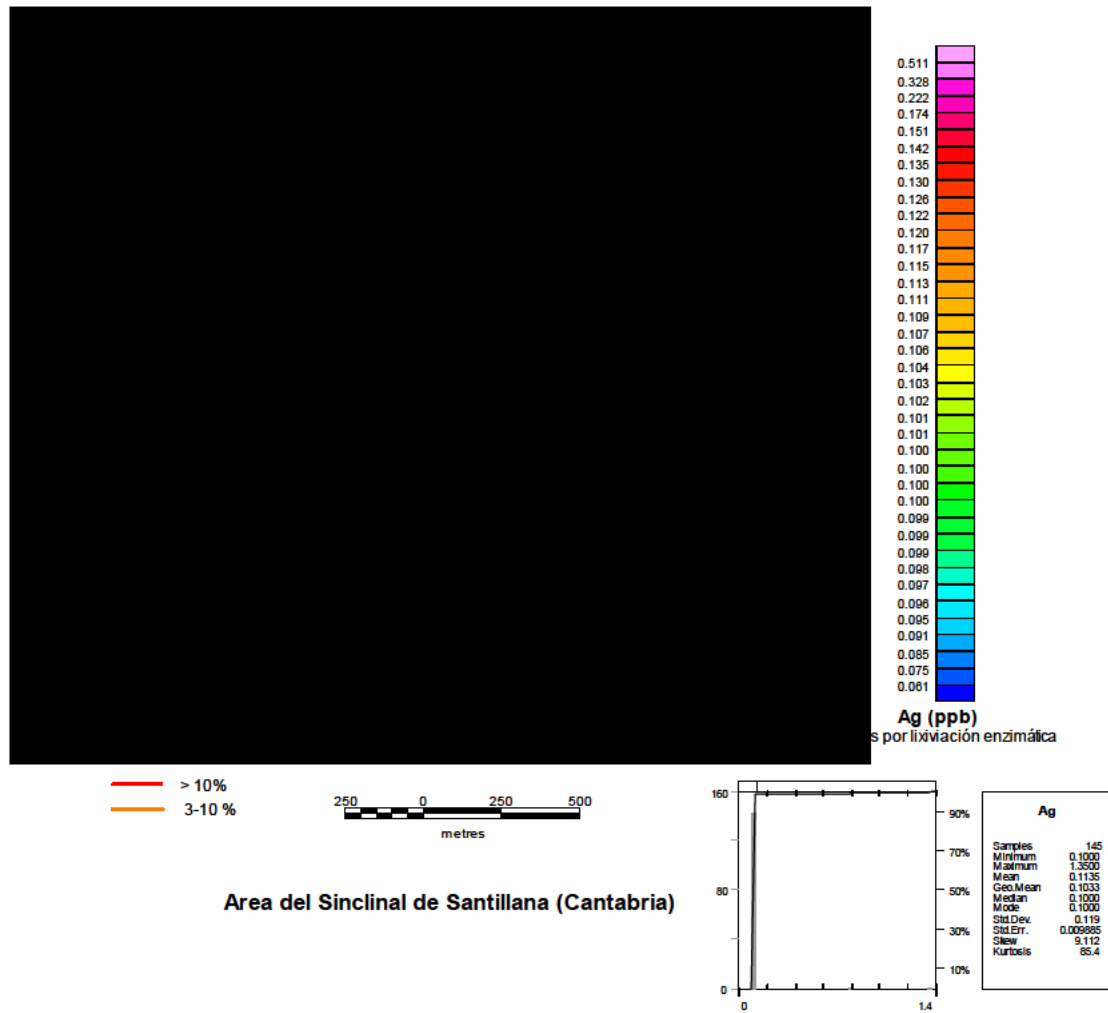


Figura 2.7.- Mapa de contornos por krigage de Ag analizado por Lixiviación Enzimática.

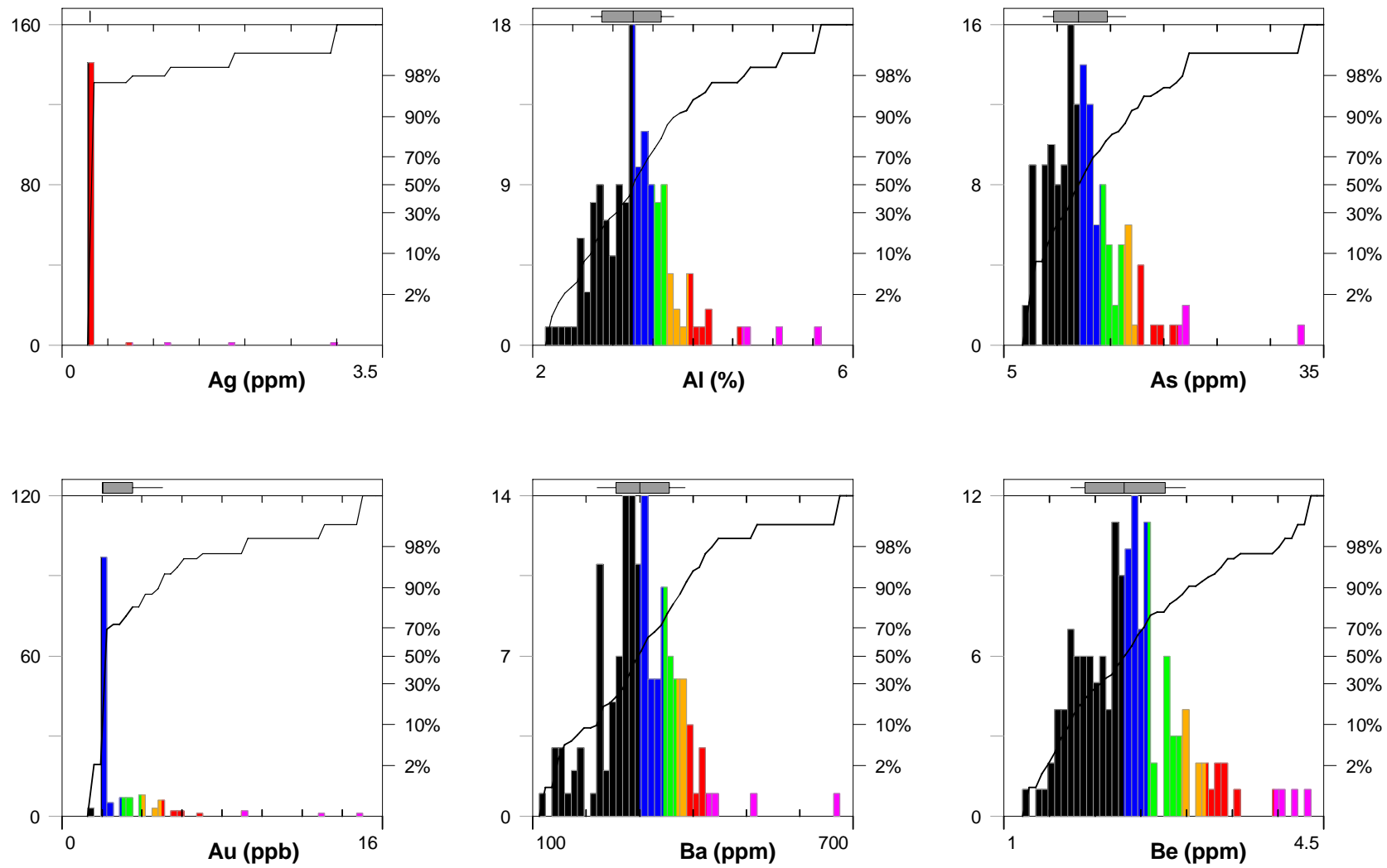


Figura 2.49a.- Histogramas Ag, Al, As, Au, Ba, Be.

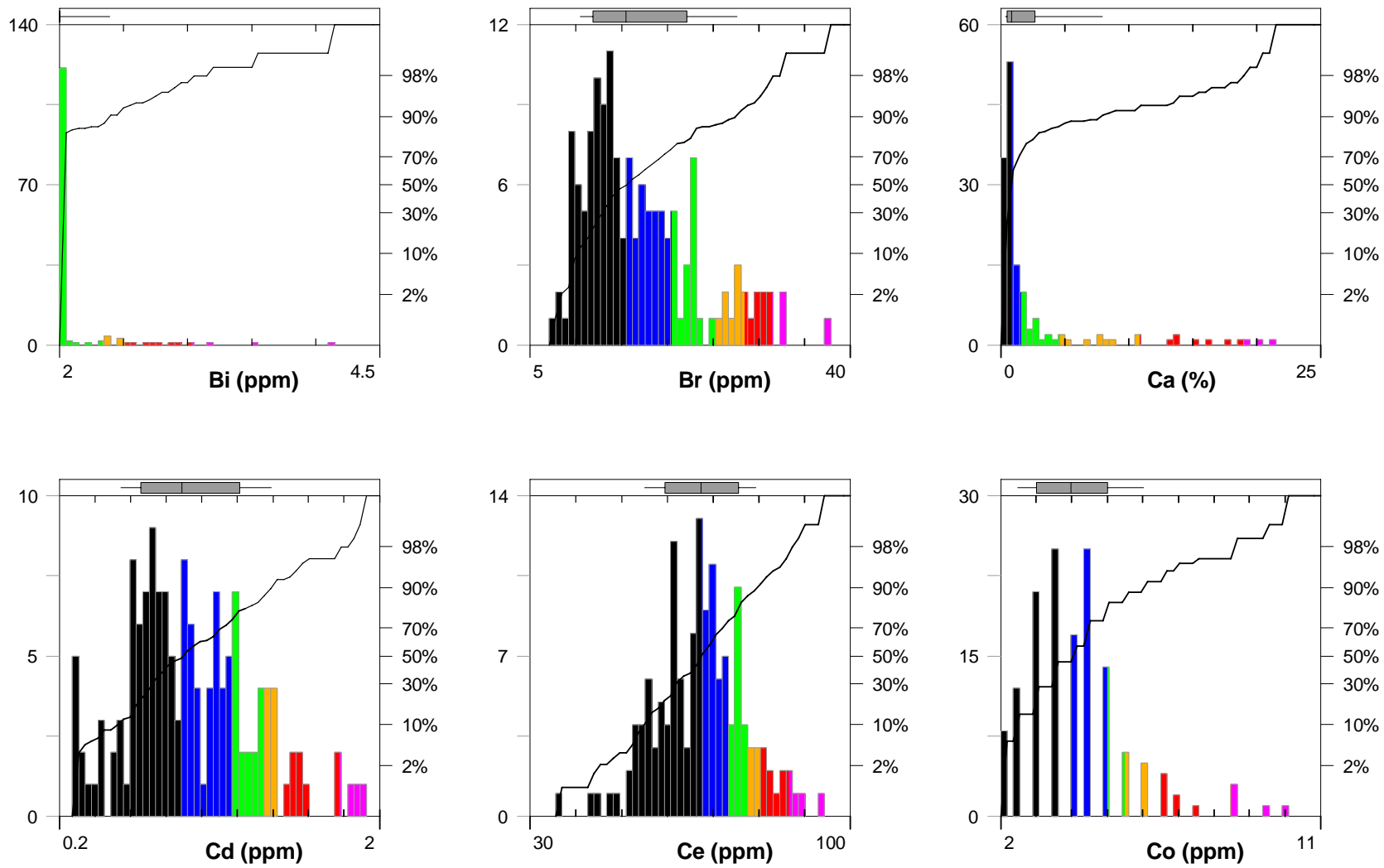


Figura 2.49b.- Histogramas Bi, Br, Ca, Cd, Ce, Co.

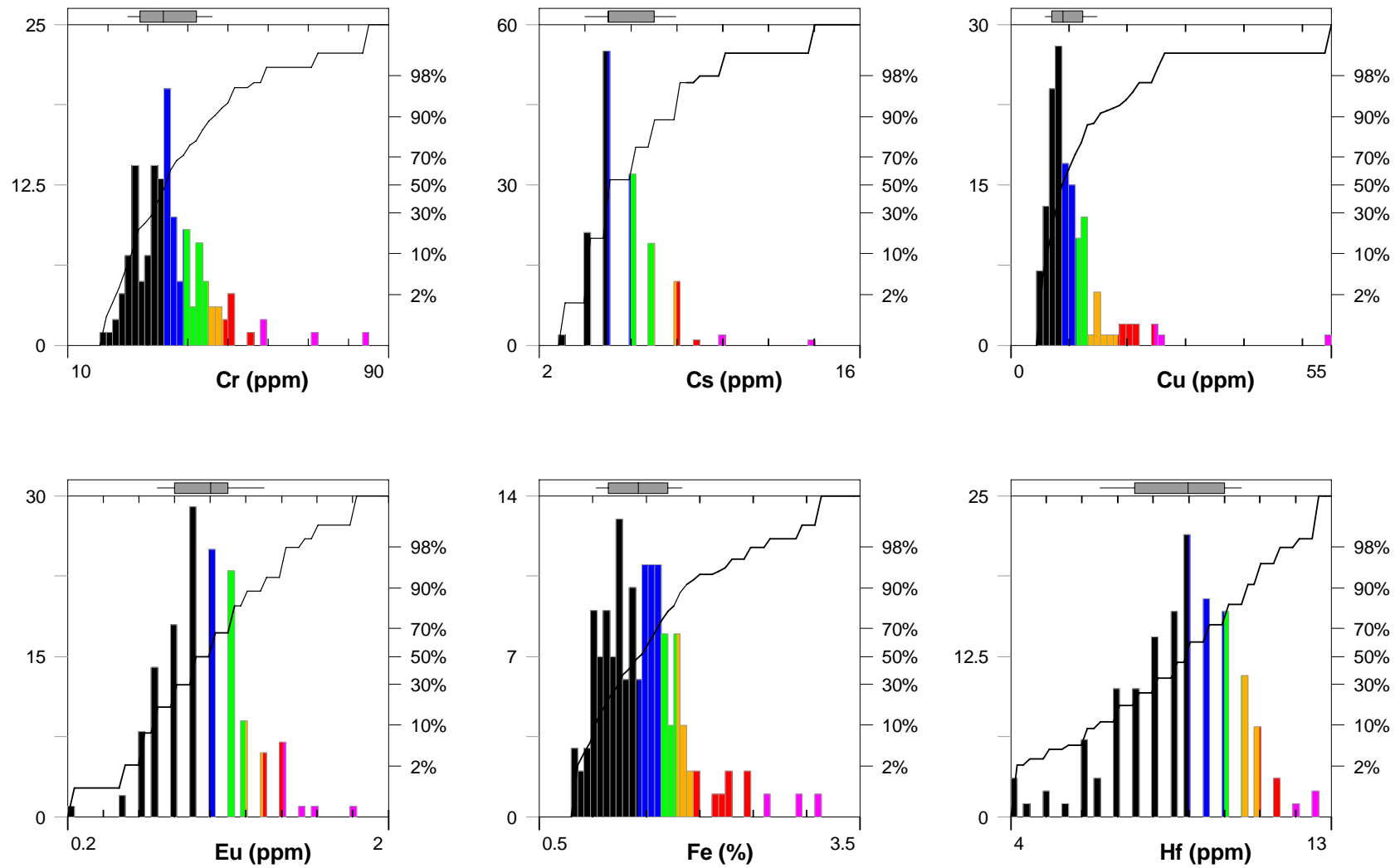


Figura 2.49c.- Histogramas Cr, Cs, Cu, Eu, Fe, Hf.

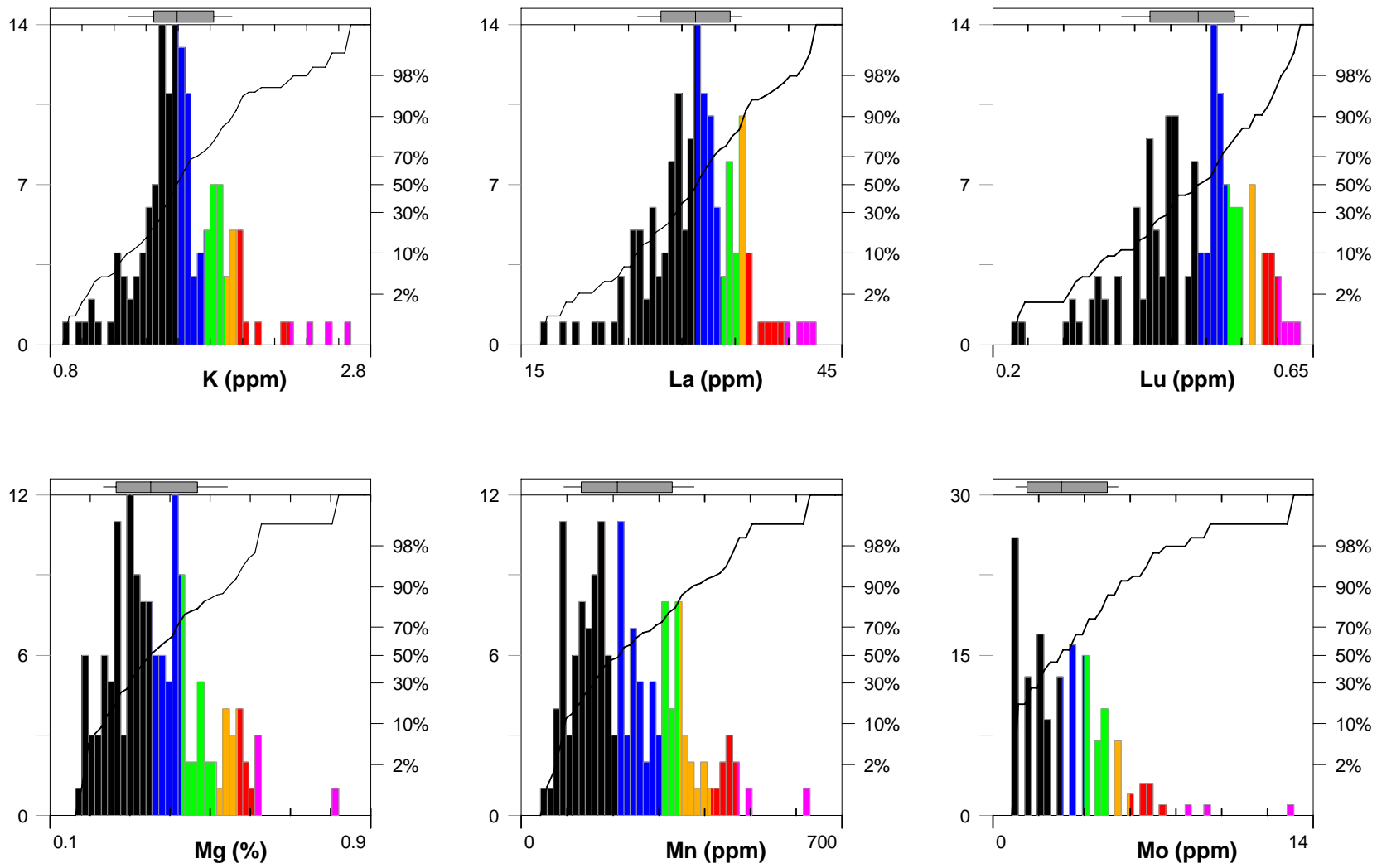


Figura 2.49d.- Histogramas K, La, Lu, Mg, Mn, Mo.

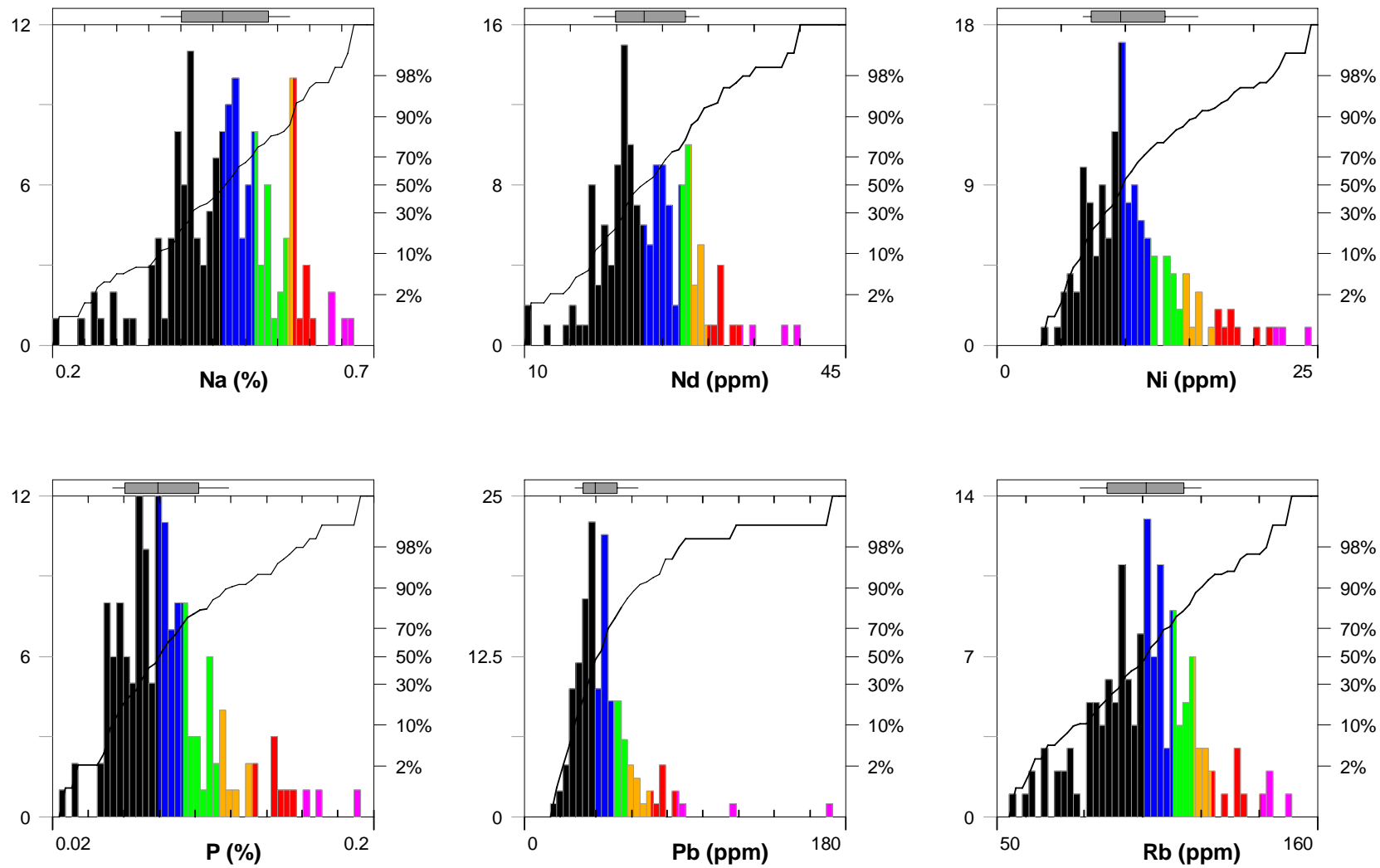


Figura 2.49e.- Histogramas Na, Nd, Ni, P, Pb, Rb.

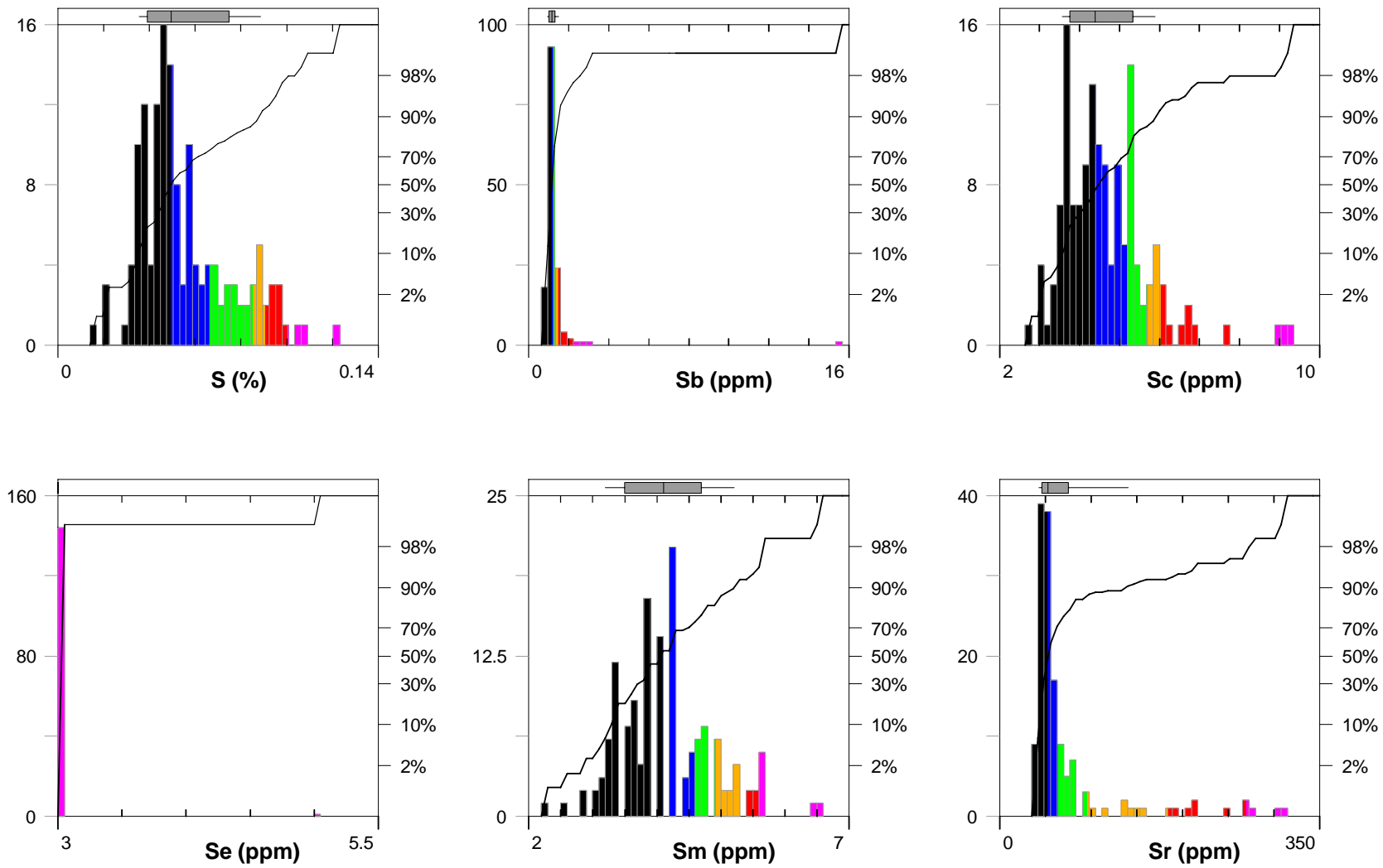


Figura 2.49f.- Histogramas S, Sb, Sc, Se, Sm, Sr.

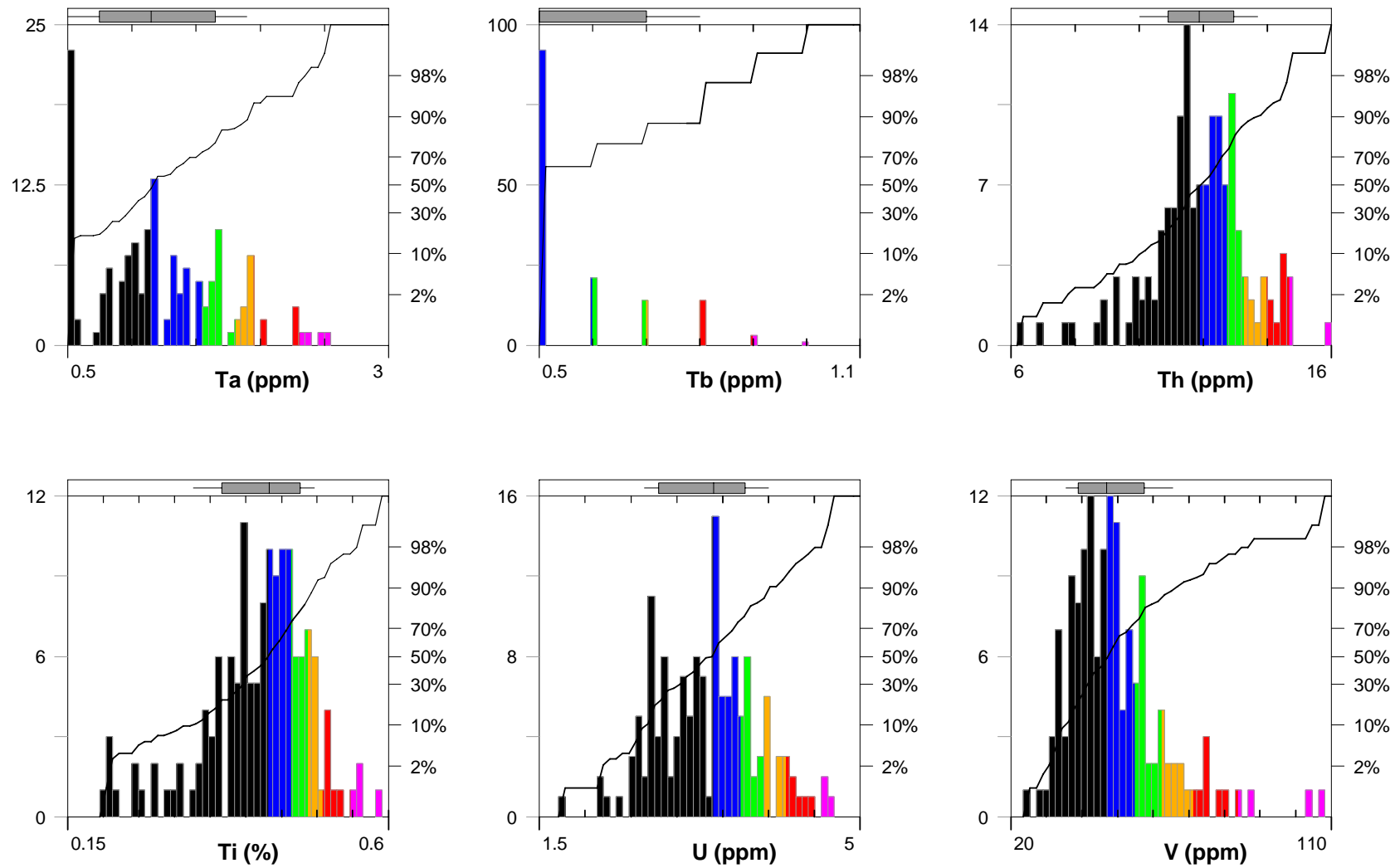


Figura 2.49g.- Histogramas Ta, Tb, Th, Ti, U, V.

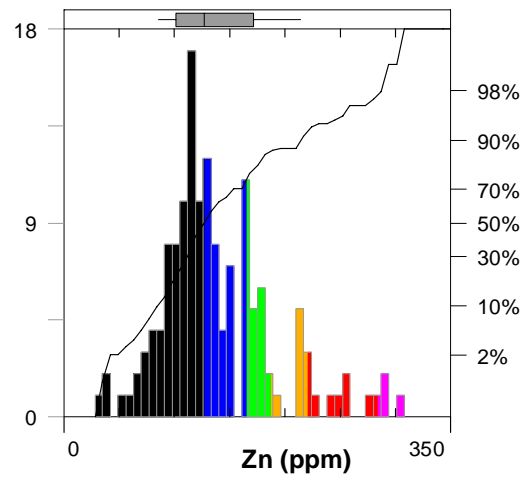
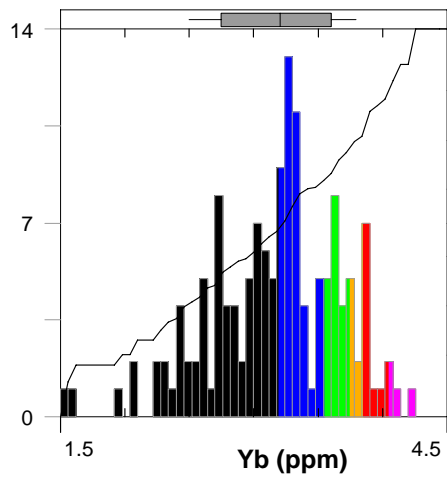
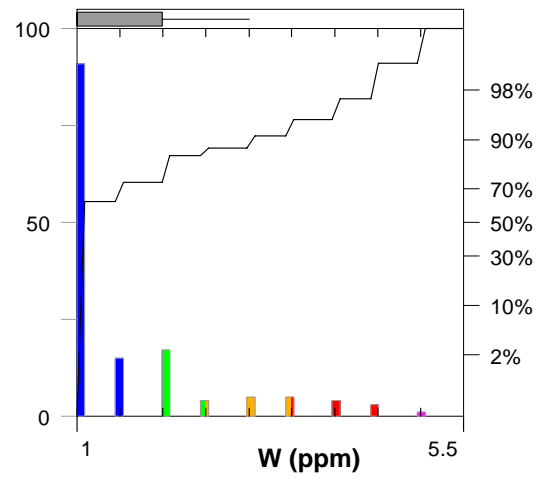
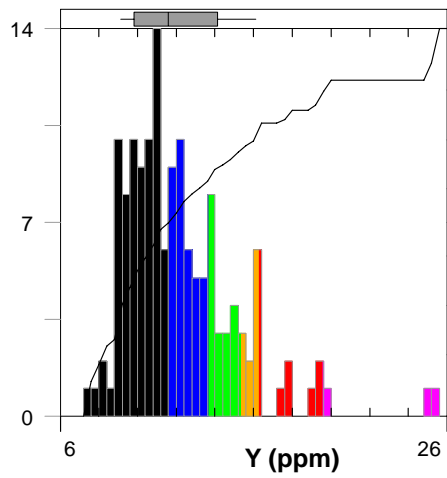


Figura 2.49h.- Histogramas Y, W, Yb, Zn.

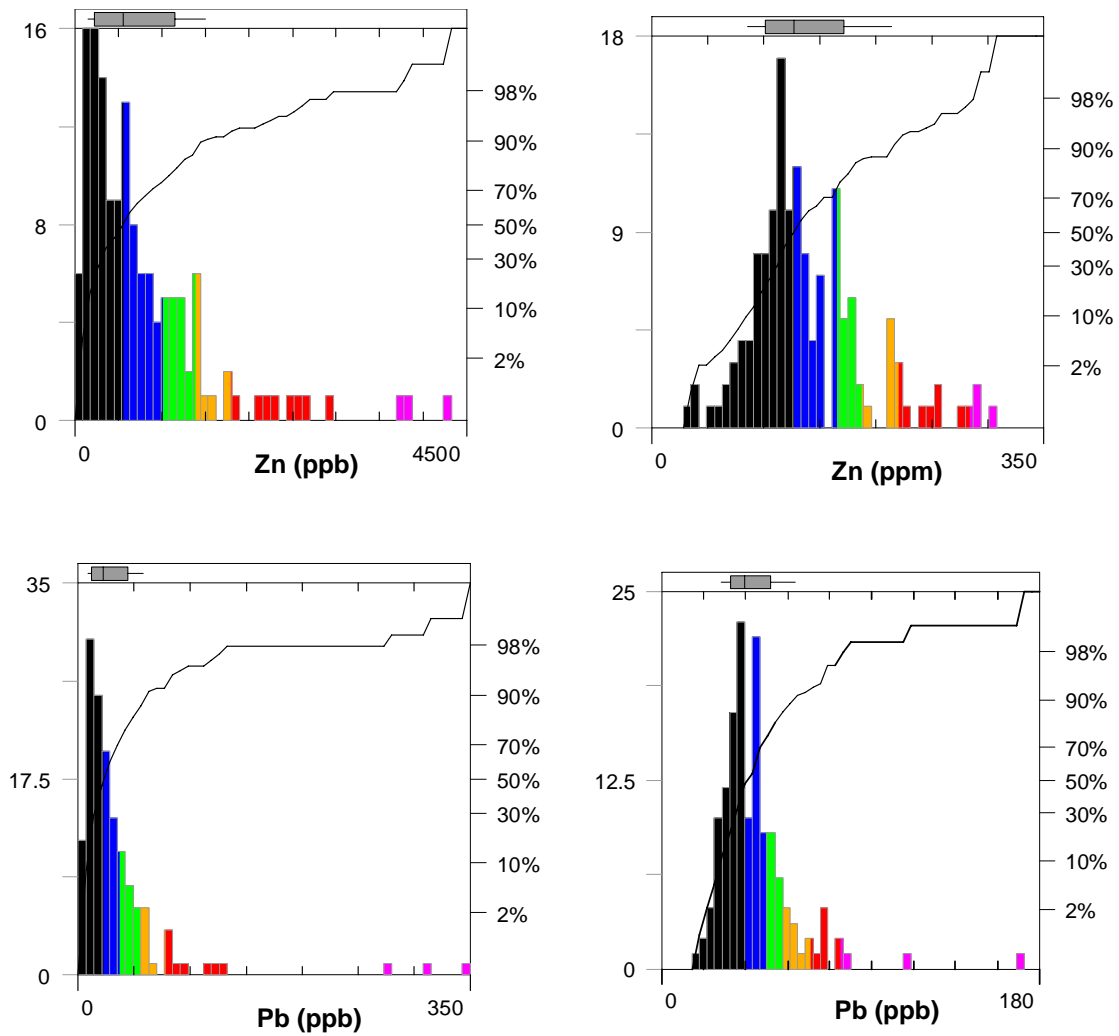


Figura 2.50.- Comparación de histogramas de Zn y Pb analizados por lixiviación enzimática e ICP-INAA (izquierda y derecha respectivamente)

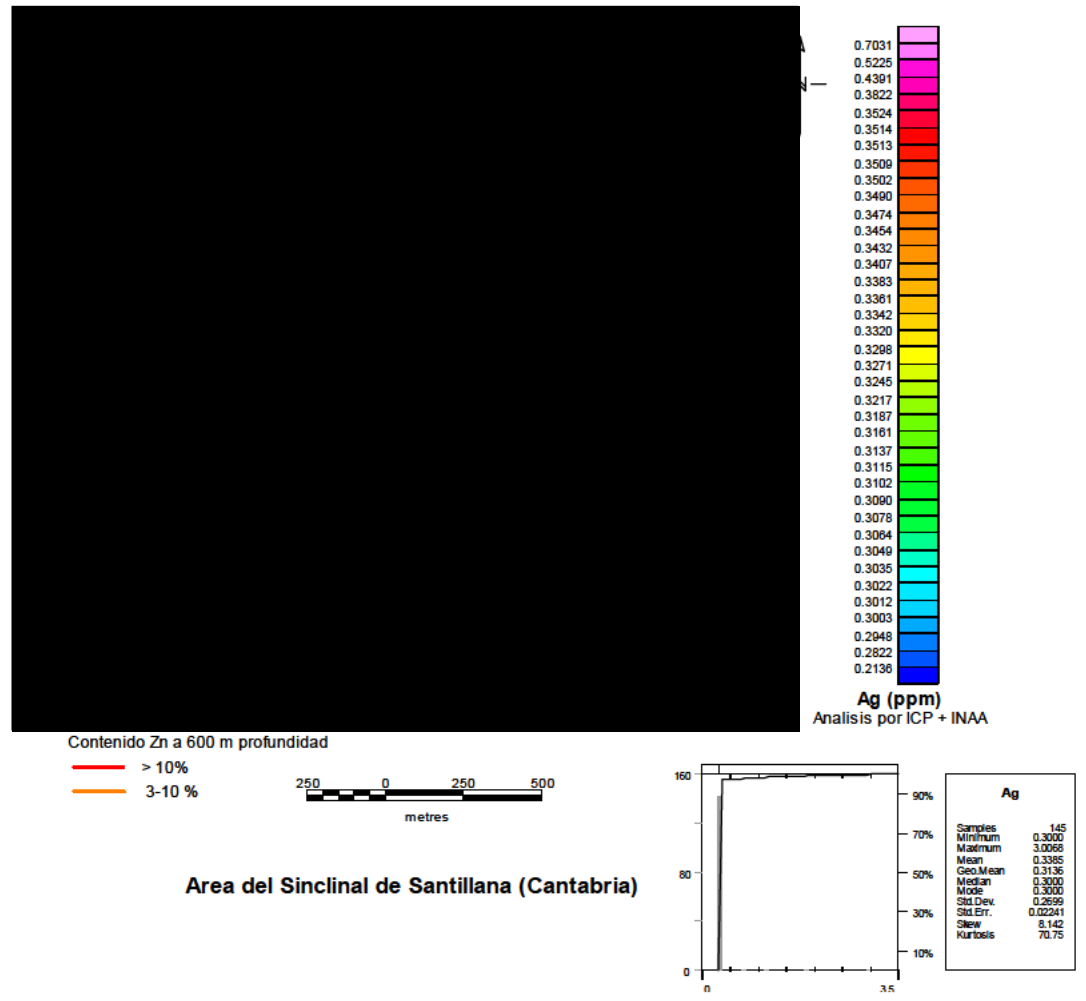


Figura 2.51.- Mapa de contornos por krigeage de Ag analizado por ICP+INAA.